

В заключение авторы выражают благодарность А.А. Шулыгинову за помощь в обработке экспериментальных результатов.

Список литературы

- [1] Гончаренко А.М. Гауссовые пучки света. Минск: Наука и техника, 1977. 144 с.
- [2] Волосов В.Д., Калинцев А.Г., Крылов В.Н. // Письма в ЖТФ. 1976. Т. 2. В. 2. С. 85.
- [3] Волосов В.Д., Калинцев А.Г., Крылов В.Н. // Квантовая электроника. 1976. Т. 3. № 10. С. 2139.

Челябинский политехнический
институт имени Ленинского
комсомола

Поступило в Редакцию
6 апреля 1990 г.

Письма в ЖТФ, том 16, вып. 16 26 августа 1990 г.

05.4; 11

© 1990

ИЗУЧЕНИЕ ЭЛЕКТРОННОЙ СТРУКТУРЫ
ПОВЕРХНОСТИ КЕРАМИКИ $YBa_2Cu_3O_{6.9}$
С ПОМОШЬЮ ФЭ ($h\nu = 8.43$ эВ) СПЕКТРОСКОПИИ

А.А. Глебовский, В.И. Клейменов,
А.А. Лисаченко

Тип проводимости ВТСП материала (металлическая или диэлектрическая), предельная плотность тока через контакт существенно зависят от параметров электронной структуры поверхности: плотности заполненных состояний на уровне Ферми (E_F) и вблизи него, положения E_F относительно уровня вакуума (термоэлектронной работы выхода φ_0). Как показывают теоретические расчеты, для $YBa_2Cu_3O_{7-x}$ валентная зона образована гибридизованными $Cu3d-02p$ орбитальными. Правильно описывая структуру спектра заполненных состояний, различные модели расчетов дают разброс его положения относительно E_F на 1–1.5 эВ [1–3]. Основным методом экспериментального исследования электронной структуры валентной зоны является фотоэлектронная (ФЭ) спектроскопия. Вид ФЭ спектров весьма чувствителен к составу, способу приготовления и хранения образцов $YBa_2Cu_3O_{7-x}$ [4]. Это позволяет использовать ФЭ спектроскопию для диагностики состояния поверхности, контроля за технологией приготовления образцов.

В большинстве случаев для возбуждения фотоэмиссии используют кванты с $h\nu > 21.2$ эВ. Но, поскольку ширина валентной зоны около 6 эВ, для ее энергетического зондирования достаточно значи-

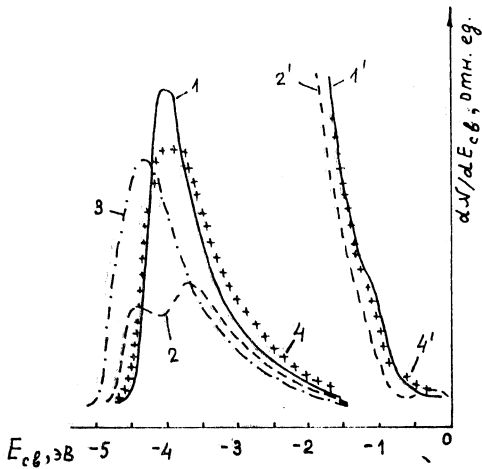
тельно меньшей энергии кванта. Снижение энергии кванта улучшило бы отношение сигнал/шум и позволило более четко зафиксировать границы ФЭ спектра, по которым можно определить величины термоэлектронной работы выхода φ_0 , т.е. положения E_F относительно уровня вакуума и фотоэлектронной работы выхода φ_Φ . Обычно их определяют в разных опытах.

Цель настоящей работы состояла в измерении плотности заполненных состояний вблизи E_F и величины работы выхода φ_0 и φ_Φ методом ФЭ-спектроскопии с использованием световых квантов малой энергии.

Схема использованного спектрометра приведена в работе [5]. Для возбуждения эмиссии служила резонансная Xe -лампа с энергией кванта 8.43 эВ. Излучение в области $h\nu > 8.43$ эВ срезано сапфировым светофильтром. Минимально обнаружимая (пороговая) плотность заполненных состояний вблизи E_F составляла $\sim 2 \cdot 10^{-3}$ от максимального значения в области на 3–5 эВ ниже E_F . Фотоэлектроны анализировали электростатическим анализатором интегрального типа с разрешением не хуже 100 мВ. Наличие сапфирового окна существенно упрощает вакуумирование объема анализатора, т.к. лампа вакуумно изолирована от измерительной камеры. Предельный вакуум в установке составлял $\sim 2 \cdot 10^{-9}$ Тор. Для градуировки анализатора использовали массивное золото, поверхность которого соскабливали в вакууме непосредственно перед измерением. Через дополнительное окно образец можно было засвечивать спектрально неразложенным светом лампы ДРШ – 1000 при плотности мощности светового потока $10^{-4} - 10^{-3}$ Вт/см² в области $h\nu > 5$ эВ. Подсветку использовали для фотоактивации адсорбции и десорбции кислорода.

Исследовали образцы керамики $YBa_2Cu_3O_{6.9}$ с $T_c = 92$ К и шириной перехода $\Delta T_c = 2.0$ К. Использовали диски диаметром 8 мм и толщиной 1 мм. Кроме оговоренных случаев, спектры снимали при комнатной температуре.

На рисунке приведены экспериментальные энергетические распределения фотоэлектронов $dN/dE(E_{cb})$. Здесь E_{cb} – энергия связи электрона, отсчитанная от уровня Ферми: $E_{cb} = h\nu - \varphi_K - U_3$, где $h\nu = 8.43$ эВ – энергия возбуждающих квантов, φ_K – термоэлектронная работа выхода коллектора, U_3 – разность потенциалов эмиттер–коллектор. Приведенные спектры нормированы по максимуму, типичная величина максимальной интенсивности составляла $\sim (2-4) \cdot 10^4$ имп/с, порог обнаружения – < 5 имп/с определялся статистическим разбросом количества фоновых импульсов. Граница экспериментального ФЭ спектра со стороны минимальных E_{cb} определяется плотностью заполненных состояний, ближайших к уровню Ферми. Для другой границы справедливо $h\nu = E_{cb}^{max} + \varphi_0$, что позволяет определять величину φ_0 . Оцененная по сходимости результатов погрешность $\Delta\%$ не превосходила ± 0.1 В. Для определения φ_K исследуемый образец без нарушения вакуума заменяли массивным золотом.



Влияние способов обработки на ФЭ спектры керамики $YBa_2Cu_3O_{6.9}$.
 1 – соскабливание в вакууме; 2 – прогрев в вакууме $300^{\circ}C$
 1 час; 3 – засветка в вакууме 1 час; 4 – засветка в кислороде
 $p=0.1$ Torr, 1 час.

Кривые $1'$, $2'$, $4'$ – соответствующие кривые 1, 2, 4, умноженные на 32 (кривая $3'$ сливается с $2'$).

В качестве исходного взят образец, свежесоскобленный в вакууме (кривая 1). Спектр не имеет выраженной структуры, порог фотоэмиссии наблюдается при $E_{cb} \sim 0.5$ эВ ниже уровня Ферми. Величина же φ_o определяется по второй границе спектра и равна 3.9 эВ. Выдержка в сверхвысоком вакууме при комнатной температуре приводит к расщеплению ФЭС на две компоненты, смешая границу заполненных состояний на ~ 0.25 эВ в сторону больших E_{cb} .

Последующая термообработка образцов при $300^{\circ}C$ в вакууме смешает край спектра, определяемый эмиссией с наиболее глубоких уровней к 4.9 эВ, что означает уменьшение φ_o образца до 3.5 эВ (кривая 2). Имеющиеся данные по ФЭ спектрам $YBa_2Cu_3O_{6.9}$ [6, 7] позволяют объяснить сдвиг порога фотоэмиссии. Ближайшие к E_F состояния дают гибридизованные орбитали $Cu(1)(d_{yz})-O(1)(p_z)-O(4)(p_y)$, причем электронная плотность вблизи E_F сосредоточена преимущественно на кислороде [6]. Показано [7, 8], что поверхность $YBa_2Cu_3O_{6.9}$ при комнатной температуре неустойчива и теряет кислород. Вплоть до $T < 500^{\circ}C$ основная потеря кислорода идет за счет состояний $O(1)$ [9], что и вызывает опустошение электронных состояний вблизи E_F . Эти изменения затрагивают лишь поверхностный слой, поскольку последующее соскабливание в вакууме восстанавливает спектр.

Уменьшение же величины φ_o можно связать с уменьшением дипольной составляющей, обусловленной потенциальным барьером

для выхода электрона за счет десорбции O_2 , CO_2 и других электроакцепторных молекул.

Прогрев в кислороде при 350°C восстанавливает порог фотомиссии, характерный для свежесоскобленного образца, но величина φ_0 достигает 4.1 эВ. Это может быть связано с увеличением дипольной составляющей за счет кислорода, который адсорбируется в заряженных формах $-O^-$, O_2^- , O_2^+ и создает дополнительное запирающее поле для выхода эмиттируемого электрона. Величина дипольной составляющей -0.2-0.8 эВ характерна для адсорбции кислорода на оксидах-диэлектриках.

Отсутствие обнаруженной плотности поверхностных состояний на уровне E_F означает, что для поверхности исследуемых образцов типичен диэлектрический характер проводимости, который обычно связывают с низким содержанием кислорода в образце. Однако диэлектрические свойства могут быть присущи поверхности даже при ненарушенной стехиометрии ($x \rightarrow 0$) из-за сужения энергетических зон на поверхности, вызванного уменьшением координационных чисел поверхностных атомов [10].

Связав уменьшение дипольной составляющей при термовакуумировании с термодесорбией кислорода, можно ожидать, что аналогичный эффект будет наблюдаться и при освещении образца. Эффект фотодесорбции кислорода с монокристаллических и керамических образцов $YBa_2Cu_3O_{7-x}$ при освещении импульсами лазера наблюдали в [11]. Действительно, засветка в вакууме полным светом лампы ДРШ уменьшила дипольную составляющую и снизила величину φ_0 до 3.5 эВ (кривая 3). По этому параметру засветка в вакууме подобна термовакуумной обработке при $300-350^{\circ}\text{C}$. Припороговая часть спектра также практически совпадает для фото- и термообработанных в вакууме образцов.

ФЭ спектр образца, засвеченного в атмосфере кислорода (кривая 4), имеет черты как свежесоскобленного в вакууме, так и прогретого в кислороде. У всех трех образцов плотность заполненных состояний слабосвязанных уровней практически совпадает, а по величине $\varphi_0 = 3.8$ эВ „фотоокисленный“ – близок к свежесоскобленному ($\varphi_0 = 3.9$ эВ) образцу.

Таким образом, использование возбуждающих квантов с $h\nu = 8.43$ эВ для ФЭ спектроскопии позволяет получать контрастные спектры заполненных электронных состояний вблизи E_F и находить из них величины как φ_0 , так и φ_Φ . Разность $\varphi_\Phi - \varphi_0$ определяет положение границы заполненных состояний относительно уровня Ферми. В работе [12] величину φ_Φ для $YBa_2Cu_3O_{6.9}$ определяли по „красной“ границе фотоэффекта. Значение $\varphi_\Phi = 2.9-3.0$ эВ расходится с результатами авторов [13], которые приводят значение $\varphi_\Phi > 5.5$ эВ. Полученные нами величины лежат в пределах от 4.0 (кривая 4) до 4.3 эВ (кривая 2) в зависимости от условий обработки. При всех условиях наших опытов поверхность $YBa_2Cu_3O_{6.9}$ проявила диэлектрические свойства. Однако положение границы заполненных состояний существенно зависит от способа обработки – потеря поверхностного структурного кислорода

опускает наивысшие из заполненных состояний. Величина термоэлектрической работы выхода φ_0 может изменяться на ~ 0.5 эВ в зависимости от наличия адсорбированного кислорода.

Изменение покрытия поверхности адсорбированным кислородом и стехиометрии поверхностного слоя возможно как при термо-, так и при фотоактивации.

С п и с о к л и т е р а т у р ы

- [1] Fujimori A., Takayama-Muro-machi E., Uchida Y. // Sol. State Comm. 1987. V. 63. N 9. P. 857.
- [2] Chen H., Callaway J., Misra P.K. // Phys. Rev. B. 1988. V. 37. N 1. P. 195.
- [3] Mattheiss L.F., Hamann D.R. // Sol. State Comm. 1987. V. 63. N 5. P. 395.
- [4] Chang Y. et al. // Sol. State Comm. 1987. V. 63. N 8. P. 717.
- [5] Клейменов В.И. и др. Методы и средства контроля немагнитных и неэлектропроводных материалов. Тез. докл. М., 1988. с. 48.
- [6] Pickett W.E. // Rev. Mod. Phys. V. 61. N 2. P. 433.
- [7] Arko A.J. et al. // Phys. Rev. B. 1989. V. 40. N 4. P. 2268.
- [8] Киреев И.Б. и др. // ЖЭТФ. 1989. Т. 95. В. 6. С. 2060.
- [9] Sasaki Teikichi A. et al. // Jap. J. Appl. Phys. 1987. V. 26. N 10. P. L1569.
- [10] Egdeill R.S., Flavelle W.R. // Z. Phys. B. Condens. Matter. 1989. V. 74. N 3. P. 279.
- [11] Моисеенко И.Ф., Лисаченко А.А., Мощкин С.В. // Поверхность. 1990. № 6. В печати.
- [12] Консин П.И. и др. // Сверхпроводимость. 1989. Т. 2. № 11. С. 24.
- [13] Видула Ю.С. и др. Тез. докл. П Всес. конф. по ВТСП. Киев, 1989. Т. 2. С. 212.

Ленинградский государственный
университет

Поступило в Редакцию
23 апреля 1990 г.